低能区 m -14C 和 m -18O 双电荷交换反应分析

任 永 健①

(中国科学院理论物理研究所,中国农业大学工程基础科学部)

摘 要 应用 Glauber 理论对 14 C $(\pi^+,\pi^-)^{14}$ O 和 18 O $(\pi^+,\pi^-)^{18}$ Ne DCX 反应在 T_* =50 MeV 处的微分截面进行计算。核波函数假定由 2 价核子和 3α 核心(对于 14 C)或 4α 核心(对于 18 O)组成。结果表明,理论值与实验值符合得很好。

关键词 双电荷交换反应; Glauber 理论; α粒子模型

分类号 O 571.425

Analysis of $\pi^{-14}C$ and $\pi^{-18}O$ DCX Reaction at Low Energies

Ren Yongjian

(Institute of Theoretical Physics, Academia Sinica, College of Applied Engineering Sciences, CAU)

Abstract The π^{-14} C and π^{-18} O cross section at 50 MeV is calculated with the Glauber theory. The nuclear wave function is assumed to be constructed by two vallence nucleons plus a core of three α -particles (for 14 C) or four α -particles (for 18 O). A good agreement between theory and experiments is obtained.

Key words DCX reaction; Glauber theory; α-particle model

 π -核 DCX 反应在低能区(T_{\star} =50 MeV)出现朝前峰,如¹⁴C 的 DIAS DCX 朝前截面实验 测量值比基于传统机制的一级光学位理论计算结果大两三个数量级,这就是所谓 DIAS DCX 反应的低能反常行为^[1]。为了解释这种现象,80 年代,首先由 Miller 提出核内 6 夸克集团模型^[2];此后不久,在考虑了中间为非同位旋相似态的贡献和核子间的短程关联后,传统机制也对个别核的反常行为作了解释。

笔者在 Glauber 理论框架^[3]下,应用独立 α 粒子模型^[4]对¹⁴C(π^+ , π^-)¹⁴O 和¹⁸O(π^+ , π^-)
¹⁸Ne双电荷交换反应在 T_π =50 MeV 处的截面进行计算。结果发现,在不考虑核子关联的情况下,也可得到比上述模型更好的结果。

1 理论计算公式

 $^{14}C(\pi^+,\pi^-)^{14}O$ 的始末态波函数可写为 $|^{14}C\rangle_i = |2n\rangle|^{12}C\rangle$, $|^{14}O\rangle_i = |2p\rangle|^{12}C\rangle$; $^{18}O(\pi^+,\pi^-)^{18}Ne$ 的始末态波函数可写为 $|^{18}O\rangle_i = |2n\rangle|^{16}O\rangle$, $|^{18}Ne\rangle = |2p\rangle|^{16}O\rangle$ 。

对于 14 C 和 14 O, $|2n\rangle$, $|2p\rangle$ 为壳模型下 $1p_{1/2}$ 轨道的谐振子波函数;对于 18 O 和 18 Ne, $|2n\rangle$, $|2p\rangle$ 为壳模型下 $1d_{5/2}$ 轨道的谐振子波函数。 $|^{12}$ C \rangle 是 14 C(或 14 O)的核心,可视为由 3α 粒子组成; $|^{16}$ O \rangle 是 18 O(或 18 Ne)的核心,可视为由 4α 粒子组成。独立 α 粒子波函数取自文献[4],谐振子参

收稿日期:1999-01-20

①任永健,北京清华东路 17号 中国农业大学(东校区)72 信箱,100083

数对¹⁴C 取 a=1.0 fm,对¹⁸O 取 a=1.2 fm。

由 Glauber 理论,双电荷交换反应散射振幅一般可表示为

$$F_{f_i}(q) = \frac{\mathrm{i}K}{2\pi} \int d^2b \exp\left(\mathrm{i}\boldsymbol{q} \cdot \boldsymbol{b}\right) \left\langle \boldsymbol{\Psi}_f \left| 1 - \prod_{i=1}^A \left[1 - \Gamma(\boldsymbol{b} - \boldsymbol{s}_i) \right] \right| \boldsymbol{\Psi}_i \right\rangle \tag{1}$$

式中:K 是入射 π 介子的动量;A 表示散射体个数,对于 14 C,A=5(3 个 α 粒子和 2 个价核子),对于 18 O,A=6(4 个 α 粒子和 2 个价核子);b 为碰撞参数; s_j 为第 j 个散射体的位矢在碰撞参数平面内的投影。 $\Gamma(b)$ 是断面函数,有

$$\Gamma(\boldsymbol{b}) = \frac{1}{2\pi i \boldsymbol{k}} \int d^2 b \exp(-i \boldsymbol{q} \cdot \boldsymbol{b}) f_{\pi x}(q)$$

式中 $f_{\pi x}(q)$ 分别对应 π -N 振幅和 π - α 振幅,对于 π -N 振幅,忽略自旋部分时有 $f_{\pi N}(K',K) = f_0 + f_1(t \cdot \tau)$ 。式中各符号详细表述参见文献[5]。由文献[6], π - α 振幅可表为

$$f_{\pi\alpha}(q) = f(0) \left(1 - \frac{q^2}{t_1} \right) \left(1 - \frac{q^2}{t_2} \right) \exp\left(-\frac{1}{6} R_s^2 q^2 \right)$$
$$f(0) = \frac{i K_{\pi\alpha} \sigma}{4\pi} (1 - i\rho)$$

将 π - N 振幅和 π - α 振幅代入式(1)可得到双电荷交换反应散射振幅,对于 14 C(π +, π -) 14 O 有

$$F(q) = \frac{iKE_c}{2\pi} \sum_{k=0}^{3} (-1)^k C_3^k N_o^k \sum_{n=0,2}^{8k+8} D_E(n,k) \Gamma\left(\frac{n}{2} + 1\right) \cdot (2R_k)^{n+2} {}_1F_1\left(-\frac{n}{2}, 1, R_k^2 q^2\right) \exp(-R_k^2 q^2)$$

式中

$$E_{c} = \frac{8}{9K_{\pi N}^{2}a_{0}^{4}}, \ N_{o} = \frac{f(o)\pi^{3/2}a^{3}}{2iK_{\pi o}R^{2}}$$

$$R_{k} = \left(\frac{k}{R^{2}} + \frac{8}{a_{0}^{2}}\right)^{-1/2} \quad (k = 0, 1, 2, 3; \ a_{0} = 1.596)$$

对于¹⁸O(π⁺,π⁻)¹⁸Ne 有

$$F(q) = \frac{\mathrm{i}KE_{d}}{2} \sum_{k=0}^{4} (-1)^{k} C_{4}^{k} N_{o}^{k} \sum_{n=0,2}^{8k+12} D_{H}(n,k) \Gamma\left(\frac{n}{2}+1\right) \cdot (2R_{k})^{n+2} {}_{1}F_{1}\left(-\frac{n}{2},1,R_{k}^{2}q^{2}\right) \exp\left(-R_{k}^{2}q^{2}\right)$$

式中 $E_d = 2/(3K_{\pi N}^2 a_0^4)$;此处 R_k 中 k = 0,1,2,3,4。

以上各式中 Γ ,₁F₁分别表示 Γ 函数与合流超比函数,系数D_E(n,k),D_H(n,k)见附录。

2 结果及讨论

笔者利用上述公式计算了 $T_{\pi}=50$ MeV, 14 C(π^+,π^-) 14 O 和 18 O(π^+,π^-) 18 Ne DCX 反应微分截面,并与实验结果进行比较,见图 1 和图 2。可以看出,该模型很好给出了 50 MeV 下的朝前峰,其结果优于 Miller 等人的结果(参见文献[1]和[2])。该模型简单,计算中不考虑价核子之间的核子关联,且没有自由参数。究其原因,可能是在对核心的处理上,将核心视为 3 α 和 4 α 粒子是一很好的近似。将 $f_{\pi\alpha}$ 作为 Glauber 理论的输入量,某种程度上自动包含了 π 吸收及核结构效应。

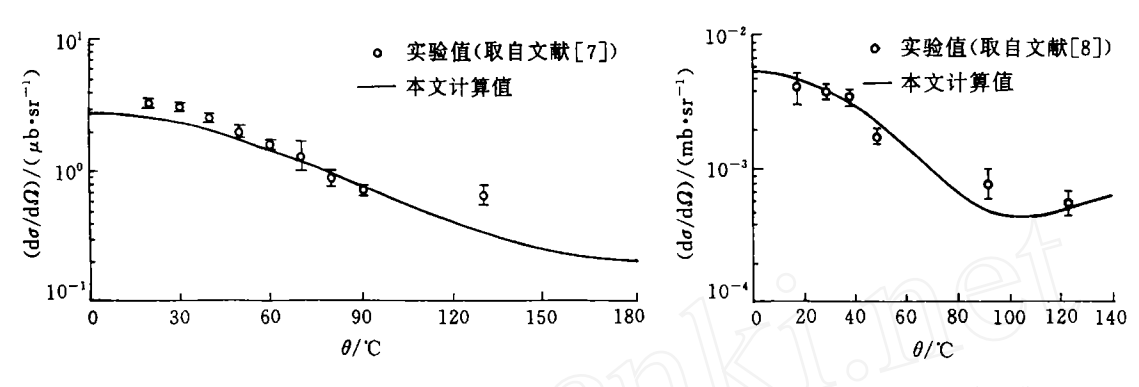


图 1 ${}^{14}C(\pi^+,\pi^-){}^{14}O$ 微分截面 $(T_{\pi}=49.2 \text{ MeV})$

图 2 ¹⁸O(π⁺,π⁻)¹⁸Ne 微分截面 (T_π=50 MeV)

为了检验该模型的应用范围,在研究双电荷交换反应低能反常行为前,已用类似方法计算了 $T_{\pi}=162~{\rm MeV}$ 下 $\pi^{\pm}-{}^{13}{\rm C}$ 弹性散射 $\pi^{-13}{\rm C}$ 弹性散射 $\pi^{-13}{\rm C}$ 弹性散射 $\pi^{-13}{\rm C}$ 单电荷交换反应 $\pi^{-13}{\rm C}$ 单电荷交换反应 $\pi^{-13}{\rm C}$ 单电荷交换反应 $\pi^{-13}{\rm C}$ 弹性散射 (见图 3 和图 4)。以上所有结果与实验符合得很好,且都反映出核心对结果的影响是相当重要的。

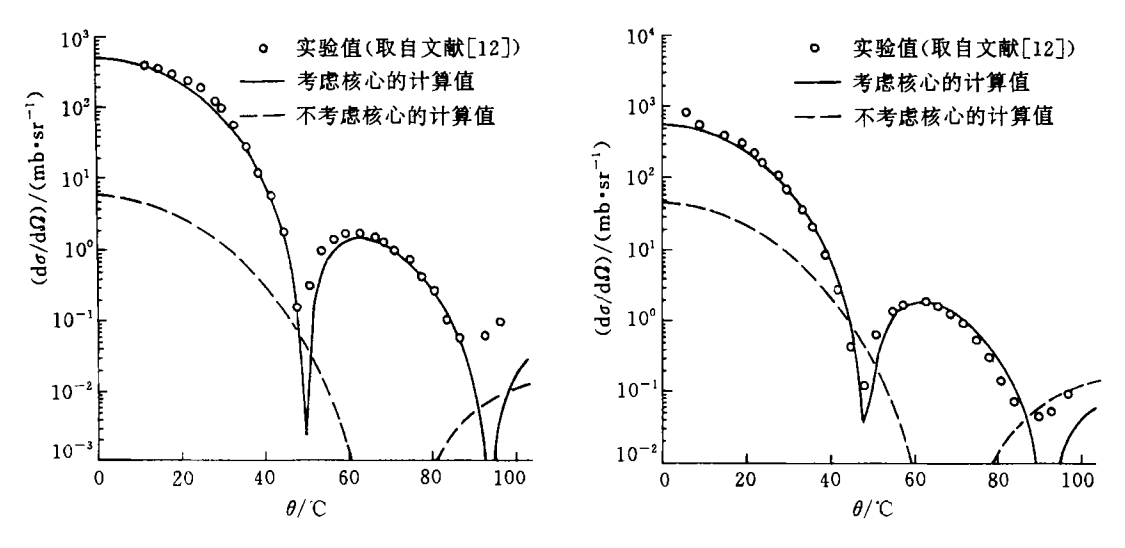


图 3 ${}^{13}C(\pi^+,\pi^+){}^{13}C$ 弹性散射(T_{π} =180 MeV)

图 4 ${}^{13}C(\pi^-,\pi^-){}^{13}C$ 弹性散射($T_{\pi}=180 \text{ MeV}$)

笔者的计算没有引入核子关联,对 T_* =50 MeV 下¹⁴C 和¹⁸O DCX 反应的反常行为给出了相当好的结果。由此说明,在应用传统机制解释低能反常行为时,一些文献中提出的核子关联的重要性是值得怀疑的。

参考文献

- 1 Clement H. Pionic charge exchange in nuclei. Prog Part Nucl Phys, 1992,29:175
- 2 Miller G A. Six-quark cluster components of nuclear wave functions with the pion-nucleus double-charge-exchange reaction. Phys Rev Lett. 1984, 53:2008
- 3 Glauber R J. High Energy Collision Theory Lecture in Theor Phys. In: Britin W E, Dunhan L G, ed.

Interscience (Vol 1), New York, 1959

- 4 Li Qingrun, Chen Shengzhong, Zhao Enguang. Electron scattering in the independent alpha particle model. High Energy Phys Nucl Phys, 1981, 5:531
- 5 Ren Yongjian, Mao Guangjun, Liu Xiaoyun, et al. An analysis of pion-¹³C elastic scattering and single charge exchange reaction. Commun Theor Phys, 1997, 28:125
- 6 Binon F, Duteil P, Gouanere M, et al. Scattering of negative pions on helium. Hucl Phys, 1978, A298:
- 7 Leitch M J, Piasetzky E, Bear H W, et al. Double analog transition ¹⁴C(π⁺,π⁻)¹⁴O at 50 MeV. Phys Rev Lett,1985,54:1482
- 8 Altman A, Johnson R R, Wienands U, et al. Observation of the double isobaric analog transition ¹⁸O(π⁺,π⁻)¹⁸Ne at 50 MeV. Phys Rev Lett,1985,55:1273
- 9 任永健,黄清波,左淑华,等.α粒子模型下的 $\pi^{\pm-13}$ C 弹性散射.中国农业大学学报,1997,2(4):32
- 10 任永健,左淑华.集团模型与π-13C单电荷交换反应分析.中国农业大学学报,1998,3(4):21
- 11 Ren Yongjian, Gu Jianzhong, Lei Yian, et al. π[±] Elastic scattering and excitation function of pion SCX reaction on ¹³C. Chine J Nucl Phys, 1997, 19(3):142
- 12 Liu L C. Two-nucleon processes in a coupled-channel approach to pion-nucleus single-charge-exchange reactions. Phys Rev C,1981,23(2):814
- 13 李清润,陈生忠,赵恩广. α 粒子模型下的 π-1°C 散射. 高能物理与核物理,1981,5(6):641
- 14 李清润,陈生忠,赵恩广.α粒子模型下的 π^{-_16}O 弹性散射.原子核物理,1981,3(4):334

附 录

$$D_{E}(n,0) = C_{1}(n) \qquad n = 0, 2, \dots, 8$$

$$D_{E}(n,1) = D_{C}(n) \qquad n = 0, 2, \dots, 16$$

$$D_{E}(n,2) = D'_{C}(n) \qquad n = 0, 2, \dots, 24$$

$$D_{E}(n,3) = D''_{C}(n) \qquad n = 0, 2, \dots, 32$$

$$\sum_{n=0,2}^{8} C_{1}(n)b^{n} = \left[\sum_{n=0,2}^{4} C(n)b^{n}\right]^{2}$$

其中C(n)参见文献[10]。

$$\sum_{n=0,2}^{16} D_{C}(n)b^{n} = \sum_{n=0,2}^{8} D(n)b^{n} \sum_{m=0,2}^{8} C_{1}(m)b^{m}$$

$$\sum_{n=0,2}^{24} D'_{C}(n)b^{n} = \sum_{n=0,2}^{16} D'(n)b^{n} \sum_{m=0,2}^{8} C_{1}(m)b^{m}$$

$$\sum_{n=0,2}^{32} D''_{C}(n)b^{n} = \sum_{n=0,2}^{24} D''(n)b^{n} \sum_{m=0,2}^{8} C_{1}(m)b^{m}$$

$$D_{H}(n,0) = H(n) \qquad n = 0, 2, \cdots, 12$$

$$D_{H}(n,1) = HD(n) \qquad n = 0, 2, \cdots, 20$$

$$D_{H}(n,2) = HD''(n) \qquad n = 0, 2, \cdots, 28$$

$$D_{H}(n,3) = HD''(n) \qquad n = 0, 2, \cdots, 36$$

$$D_{H}(n,4) = HD'''(n) \qquad n = 0, 2, \cdots, 44$$

式中

$$H(n) = Q(n) + \frac{1}{25} [M(n) + L(n)]$$

$$\begin{cases} I(0) = 6A_1 + 24B_1/a_0^2 \\ I(2) = -56B_1/a_0^4 \\ I(4) = (2A_1 + 40B_1/a_0^2)/a_0^4 \\ I(6) = -8B_1/a_0^8 \\ J(0) = -32B_1/a_0^2 \\ J(2) = (8A_1 + 80B_1/a_0^2)/a_0^4 \\ J(4) = (A_1 - 12B_1/a_0^2)/a_0^4 \\ J(6) = -4B_1/a_0^8 \\ K(0) = 0 \\ K(2) = -16B_1/a_0^4 \\ K(4) = (A_1 + 20B_1/a_0^2)/a_0^4 \\ K(6) = -4B_1/a_0^8 \\ \sum_{n=0,2}^{12} L(n)b^n = \left[\sum_{n=0,2}^{6} I(n)b^n\right]^2 \\ \sum_{n=0,2}^{12} M(n)b^n = \left[\sum_{n=0,2}^{6} K(n)b^n\right]^2 \\ \sum_{n=0,2}^{2} Q(n)b^n = \left[\sum_{n=0,2}^{6} K(n)b^n\right]^2 \\ \sum_{n=0,2}^{2} H_D(n)b^n = \sum_{n=0,2}^{12} H(n)b^n \sum_{m=0,2}^{8} D(m)b^m \\ \sum_{n=0,2}^{28} H_D'(n)b^n = \sum_{n=0,2}^{12} H(n)b^n \sum_{m=0,2}^{16} D'(m)b^m \\ \sum_{n=0,2}^{36} H_D''(n)b^n = \sum_{n=0,2}^{12} H(n)b^n \sum_{m=0,2}^{24} D''(m)b^m \\ \sum_{n=0,2}^{44} H_D'''(n)b^n = \sum_{n=0,2}^{12} H(n)b^n \sum_{m=0,2}^{32} D'''(m)b^m \\ \sum_{n=0,2}^{44} H_D'''(n)b^n = \sum_{n=0,2}^{12} H(n)b^n \sum_{m=0,2}^{32} D'''(m)b^m \end{cases}$$

其中 D(n), D'(n), D''(n) 参见文献[13]的附录,D'''(n) 参见文献[14]的附录。